

九州大学工学部 正員 山崎徳也
 長崎大学工学部 正員 横木武
 九州大学工学部 学生員 ○高橋和雄

1. 緒言

著者らは先に矩形板のたわみ角一端モーメント関係式を誇導のうえ、種々の連続矩形板の解析を行ったが、著者らが無深板の解法で提案した応力法を用いて連続矩形板を解くことも可能である。すなはち、本研究は前報の応力法による一方向連続矩形板の解法に引きつづいて、同様の手法による二方向連続矩形板の解法を提示し、たわみ角一端モーメント関係式による解法と比較検討せんとするものである。

2. 解法

(1) 板の弾性曲面：図-1に示すごとく矩形板ACDBに直交座標系(x, y, z)を導入し、板面に対して任意垂直荷重 $p(x, y)$ が作用するものとする。

また、板ACDBは周辺の他にx軸方向にr個、y軸方向にn個の中間支承にて支えられ、それぞれ番号 $1, 2, \dots, r; 1, 2, \dots, n$ を付す。任意垂直荷重 $p(x, y)$ が作用するとき、板から中間支承に伝えられる垂直反力をそれぞれ $V_1^x, V_2^x, \dots, V_r^x; V_1^y, V_2^y, \dots, V_n^y$ とする。

垂直反力 V_j^x は一般にyの関数であるゆえ、無限級数を用いて次式のごとく仮定する。

$$V_j^x = \sum_{m=1}^{\infty} V_{jm}^x \sin \beta_m y \quad \text{次元 [FL^2]} \quad (1)$$

$$\text{ここに, } j = 1, 2, \dots, r \quad \beta_m = m\pi/a$$

式(1)を領域 $[0, a]$ で定義される正弦 Fourier 級数に展開すれば次式をう。

$$\{V_j^x\} = \sum_{m=1}^{\infty} \sum_{n=1}^{\infty} F_{mn}^{xj} \sin \alpha_m x \sin \beta_n y \quad (2)$$

$$\text{ここに, } F_{mn}^{xj} = \frac{2}{a} V_{jm}^x \sin m\pi x \quad dm = m\pi/a$$

また、{}は級数展開を意味し、 $\{V_j^x\}$ は $[FL^2]$ なる次元をもつ。

同様に、 V_j^y について次の式をう。

$$V_j^y = \sum_{m=1}^{\infty} V_{jm}^y \sin \alpha_m x \quad (3)$$

$$\{V_j^y\} = \sum_{m=1}^{\infty} \sum_{n=1}^{\infty} F_{mn}^{yj} \sin \alpha_m x \sin \beta_n y \quad (4)$$

$$\text{ここに, } j = 1, 2, \dots, n \quad F_{mn}^{yj} = \frac{2}{a} V_{jm}^y \sin n\pi y$$

板に作用する任意垂直荷重 $p(x, y)$ の他に、各中間支承に生ずる垂直反力 V_j^x, V_j^y をも板面に作用する荷重とみなす、 $p(x, y)$ の正弦 Fourier 級数展開式および式(2), (4)を加え合わせれば、板面に作用する全荷重 $q(x, y)$ が次式のごとく表される。

$$q(x, y) = \sum_{m=1}^{\infty} \sum_{n=1}^{\infty} T_{mn} \sin \alpha_m x \sin \beta_n y \quad (5)$$

$$\text{ここに, } T_{mn} = F_{mn} - \frac{2}{a} F_{mj}^{xi} - \frac{2}{a} F_{nj}^{yi} = F_{mn} - \frac{2}{a} \sum_{j=1}^r V_{jm}^x \sin \alpha_m x - \frac{2}{a} \sum_{j=1}^n V_{jm}^y \sin \alpha_m x$$

$$F_{mn} = \frac{1}{4} q_{ab} \int_0^a \int_0^b p(x, y) \sin mx \sin ny dy dx$$

等方性、等断面の平面板に垂直荷重 $q(x, y)$ が作用する場合の板の基礎微分方程式は周知のごとく次式で与えられる。

$$\nabla^4 w = q(x, y)/D$$

ここに、 $\nabla^4 = (\partial^2/\partial x^2 + \partial^2/\partial y^2)$, $D = E\delta^3/\{12(1-\nu^2)\}$, δ : 板厚, E : 板の弾性係数

ν : 板のポアソン比, w : 板の垂直変位

式(6)の一般解として、文献(3)に示す解を用うれば、式(5)の荷重 $q(x, y)$ を受ける板 A C D B のたわみ w が次式で与えられる。

$$w = \sum_{m=1}^{\infty} Y_m \sin mx + \sum_{n=1}^{\infty} X_n \sin ny + w_0$$

$$\text{ここに, } Y_m = (A'_m + B'_m y) \sinh \beta_m y + (C'_m + D'_m y) \cosh \beta_m y$$

$$X_n = (A_n + B_n x) \sinh \beta_n x + (C_n + D_n x) \cosh \beta_n x$$

$$w_0 = \sum_{m=1}^{\infty} \sum_{n=1}^{\infty} G_{mn} \sin mx \sin ny \quad (\text{特殊解}), \quad G_{mn} = T_{mn}/D(\beta_m^2 + \beta_n^2)^2$$

$A'_m, B'_m, C'_m, D'_m, A_n, B_n, C_n, D_n$: 積分定数

図-1に示すごとき四辺単純支持矩形板の境界条件はいづれの辺においてもたわみおよび曲げモーメントが0であるゆえ、式(7)の積分定数はいづれも0である。よって、四辺単純支持二方向連続矩形板の弾性曲面は次式のごとく簡単な式形で与えられることとなる。

$$w = \sum_{m=1}^{\infty} \sum_{n=1}^{\infty} G_{mn} \sin mx \sin ny$$

(8)

12. 基本連立方程式の誘導

連続板の中間支承上の点 $x = m\alpha$ および $y = n\beta$ の垂直変位 $w(m\alpha, y)$ および $w(x, n\beta)$ がそれぞれ各中間支承の変位 $s_k(y)$ および $s_l(x)$ と等しくなければならぬことより、次のごとき変形条件式をうる。

$$w(m\alpha, y) = s_k(y), \quad w(x, n\beta) = s_l(x) \quad \text{ここに, } k = 1, 2, \dots, r, \quad l = 1, 2, \dots, s \quad (9)$$

中間支承の変位 $s_k(y)$ および $s_l(x)$ は次式のごとき正弦フーリエ級数にて表わしうるものと仮定する

$$s_k(y) = \sum_{m=1}^{\infty} S_{km} \sin \beta_m y \quad s_l(x) = \sum_{n=1}^{\infty} S_{ln} \sin mx \quad \text{ここに, } S_{km}, S_{ln} : 係数$$

式(8)を式(9)に代入のうえ、式(10)と等置し、演算のうえ、整理すれば連立方程式が求まり次式のごとくえられる。

$$\sum_{l=1}^s \nabla_m^x G_{lm}^{xx} + \frac{1}{\mu} \sum_{j=1}^r \sum_{m=1}^{\infty} \nabla_j^y G_{jm}^{yy} = \frac{a}{2} (G_{kn} - D s_k) \\ \sum_{k=1}^r \sum_{m=1}^{\infty} \nabla_m^x H_{kmn}^{xl} + \frac{1}{\mu} \sum_{j=1}^s \nabla_j^y H_{jmn}^{yl} = \frac{a}{2} (H_{lm} - D s_l) \quad (11)$$

$$\text{ここに, } G_{lm}^{xx} = \frac{1}{K_{lm}} \sin m\alpha \sin n\beta \quad H_{lmn}^{xl} = \frac{1}{K_{lm}} \sin m\alpha \sin n\beta \sin \beta l$$

$$G_{jm}^{yy} = \frac{1}{K_{jm}} \sin n\beta j \sin m\alpha \quad H_{jmn}^{yl} = \frac{1}{K_{jm}} \sin n\beta j \sin m\alpha \sin \beta l$$

$$G_{kn} = \frac{1}{K_{kn}} F_{kn} \sin m\alpha \sin n\beta \quad H_{lm} = \frac{1}{K_{lm}} \sin m\alpha \sin n\beta$$

$$K_{lm} = \frac{1}{\alpha^2} (m^2 + n\beta^2)^2 \quad \mu = b/a$$

$$k = 1, 2, \dots, r, \quad l = 1, 2, \dots, s, \quad m, n = 1, 2, \dots$$

式(11)が本題の二方向連続板の不静定力の展開係数たる ∇_m^x, ∇_j^y を決定するための基本連立方程式であり、これを解けば、板の諸変位、諸断面力がえられることとなる。なお、基本連立方程式は ∇_m^x および ∇_j^y の単独項と総数和の項が同時に含まれるため、一種の試算による収束計算となる。

3. 計算例

たわみ角一端モーメント関係式による解法では、各径間の板周辺の変位および端モーメントをすべて正弦フーリエ級数展開式で表わしたため、中間支承の交点では必然的に、変位および端モーメントが0となる。これに対し、本法では、連続条件に仮定が含まれてある。従って、たわみ角一端モーメント関係式における仮定の影響を検討できる。

文献(1)の算例と同じく、四つの正方形板で構成される周辺単純支持の二方向連続矩形板において、等分布荷重 P_0 が①、④のスパンに作用する場合(図-2参照)の解を示せば、次のとくである。中間支承は剛で沈下がないものとすれば、本題の二方向連続矩形板の基本連立方程式は式(11)より次のとく求められる。

$$V_{lm}^x G_{lm}^{x1} + \frac{1}{\mu} \sum_{m=1}^{\infty} V_{lm}^y G_{lm}^{y1} = \frac{a}{2} G_{lm}$$

$$\sum_{m=1}^{\infty} V_{lm}^x H_{lm}^{x1} + \frac{1}{\mu} V_{lm}^y H_{lm}^{y1} = \frac{a}{2} H_{lm}$$

$$\text{ここに, } G_{lm}^{x1} = \sum_{m=1}^{\infty} \frac{1}{K_{lm}} \sin^2 \frac{m\pi}{2}$$

$$H_{lm}^{x1} = \frac{1}{K_{lm}} \sin \frac{m\pi}{2} \sin \frac{m\pi}{2}$$

$$G_{lm}^{y1} = \frac{1}{K_{lm}} \sin \frac{m\pi}{2} \sin \frac{m\pi}{2}$$

$$H_{lm}^{y1} = \sum_{m=1}^{\infty} \frac{1}{K_{lm}} \cos \frac{m\pi}{2}$$

$$G_{lm} = \sum_{m=1}^{\infty} \frac{F_{lm}}{K_{lm}} \sin \frac{m\pi}{2}$$

$$H_{lm} = \sum_{m=1}^{\infty} \frac{F_{lm}}{K_{lm}} \cos \frac{m\pi}{2}$$

$$K_{lm} = \frac{\pi^2}{a^2} (m^2 + n^2/\mu^2)$$

$$\mu = 1$$

$$F_{lm} = \frac{16B}{m\pi^2} \sin \frac{m\pi}{4} \sin \frac{m\pi}{4} (\sin \frac{m\pi}{4} \sin \frac{m\pi}{4} + \sin \frac{3m\pi}{4} \sin \frac{3m\pi}{4})$$

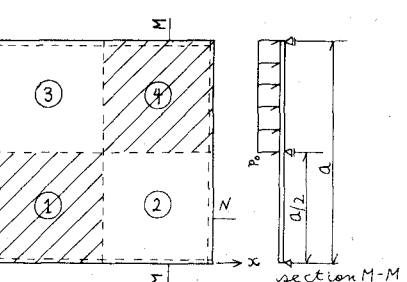


図-2
section M-M
section N-N

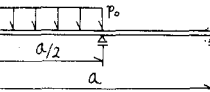


図-2

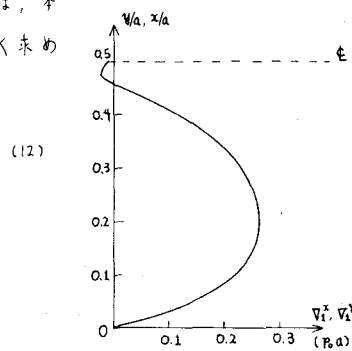


図-3 中間支承反力分布図

式(12)を解いてえらばれ結果を式(1)および式(3)に代入して、中間支承反力 V_1^x および V_1^y を求める。図-3に示すごとくえらばれる。また、式(8)およびその偏微分によって板の垂直変位、曲げモーメントが算定されるが、板の構造形式および荷重状態が($x = \frac{a}{2}, y = \frac{a}{2}$)に対して対称であり、スパン③、④の諸変付、諸断面力はスパン①、②のそれらと同じであるゆえ、スパン①、②についてのみ論ずることとする。 $y = \text{const}$ に沿う板のたわみ w 、 x および y 方向の曲げモーメント M_x および M_y を求めれば図-4、5、6のごとくえらばれる。

たわみ w は、各断面で文献(1)による結果と合致した。図-5、6に示すごとくモーメント M_x および M_y は連続板の支承の交点 ($x = \frac{a}{2}, y = \frac{a}{2}$) と共に0となり、本例のごとき構造では文献(1)で仮定した事項に矛盾がないことがわかる。本計算では収束の項数 $m = n = 31$ で打ち切ったが、文献(1)に示す収束値と支承上の

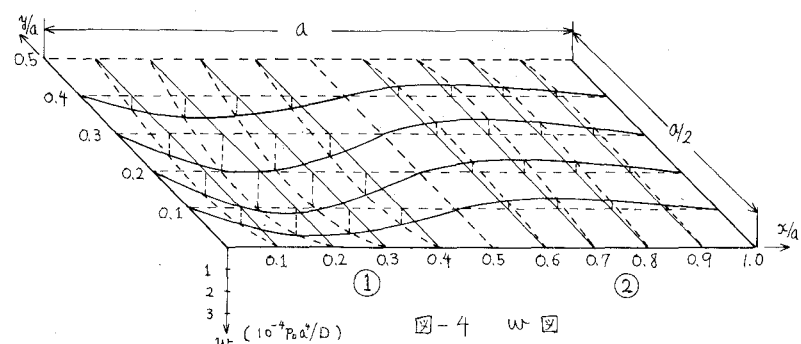


図-4 w 図

点以外で合致したが、支承上の点では、6～9%程度の誤差がでた。

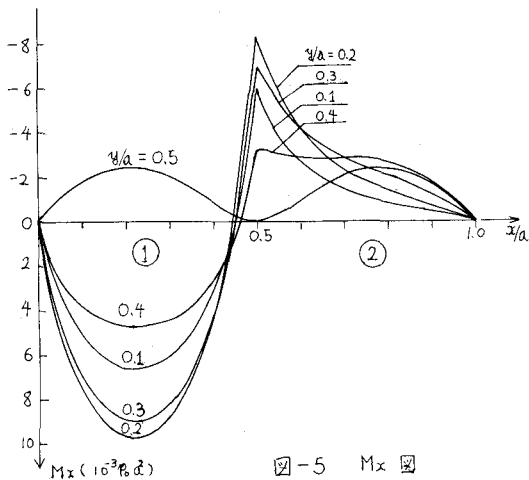


図-5 M_x 図

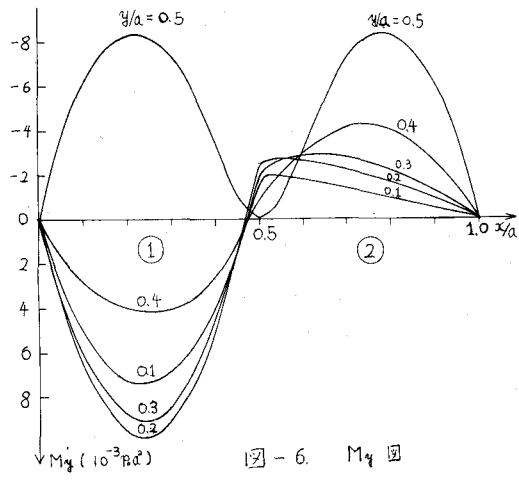


図-6 M_y 図

4 結語

算例では、周辺が単純支持される二方向連続板の解法に關し、中間支承が剛支承の場合について、たわみ角一端モーメント関係式による解法と比較検討し、いづれの解法も結果が合致することを提示した。計算における収束性はたわみ角一端モーメント関係式による解法が本法より優れている。しかし、本法は直接応力を未知数とするゆえ変位を媒介として不静定力を算出するわざしさがない点でたわみ角一端モーメント関係式による解法に勝るといえる。また、本法は中間支承が格子析および立体テーメンの一部で構成されるごとき板・骨組複合構造物の解法に応用、拡張が可能であるが、その際、たわみ角一端モーメント関係式による解法では必然的に骨組の結合点のたわみが0となり、かかる形式の複合構造物にその適用が限定されるが、本法はたわみが0でない広範囲な複合構造物にも適用できること一般的であるといえる。

参考文献

(1) 山崎・橋木・横田：たわみ角一端モーメント関係式による連続等方性矩形板の解法

九州大学工学集報 第40巻第1号 昭和42年3月

(2) 山崎・橋木：周辺単純支持される無深板の解法 土木学会論文集 第136号 昭和42年12月

(3) 山崎・橋木・高橋：応力法による一方向連続矩形板の解法

土木学会西部支部研究発表会論文集 昭和43年2月